

УДК 548.732

КОМПТОНОВСКОЕ РАССЕЯНИЕ В УСЛОВИЯХ ДИФРАКЦИИ РЕНТГЕНОВСКИХ ЛУЧЕЙ КАК МЕТОД ИССЛЕДОВАНИЯ ЭЛЕКТРОННОЙ СТРУКТУРЫ КРИСТАЛЛОВ

В. А. Бушув

Построена динамическая теория комптоновского рассеяния (КР) рентгеновских лучей в совершенных монокристаллах, учитывающая когерентное рассеяние как внешнего, так и неупруго рассеянного излучения. Получены общие выражения для спектральной интенсивности когерентного КР в геометриях Брэгга и Лауэ. На основе блоховского формализма рассмотрены парциальные сечения когерентного КР. Обсуждается влияние интерференционного сечения КР и геометрии рассеяния на кривые выхода комптоновских квантов. Показано, что в резко асимметричных схемах дифракции значительно возрастает чувствительность кривых выхода когерентного КР к распределению электронной плотности. Комптоновское рассеяние в условиях дифракции может эффективно использоваться как новый метод анализа электронной структуры кристаллов.

Комптоновское рассеяние (КР) рентгеновских лучей в кристаллах обычно рассматривается в первом борновском приближении, т. е. без учета многократного, упругого и когерентного взаимодействия излучения со средой [1]. Вместе с тем при КР в достаточно совершенных монокристаллах может реализоваться интересная ситуация, связанная с возможностью дифракции в образце внешнего излучения, а также с упругим когерентным рассеянием самих комптоновских квантов (когерентный комптон-эффект [1^{-3}]). Интерес к вторичным процессам (КР, диффузное и тепловое диффузное рассеяние (ТДР), фотоэффект, флуоресценция) в условиях динамической дифракции обусловлен тем, что вторичные процессы становятся при этом структурно чувствительными. Это обстоятельство широко используется в последние годы для исследования структурных несовершенств кристаллов (метод стоячих рентгеновских волн [4]). Менее изученным является вопрос о возможностях когерентного КР как метода анализа электронной структуры кристаллов.

Комптоновское рассеяние при брэгговской дифракции внешнего излучения исследовалось в работах [3, 5-8]. Показано [3], что перестройка пространственной структуры стоячей рентгеновской волны при малых изменениях угла падения вблизи брэгговского позволяет экспериментально разделять вклады внутренних и валентных электронов в общее сечение КР. Из энергетических спектров КР можно извлекать информацию о недиагональных элементах электронной матрицы плотности в импульсном пространстве [6, 8, 9]. Чувствительность кривых выхода КР к распределению электронной плотности повышается с использованием резко асимметричных отражений [7].

В случае дифракции комптоновских квантов в спектре КР должны появляться узкие линии с тонкой структурой [1, 2], аналогичные линиям Кикучи в электронографии [10]. Дифракционные явления в интегральной по энергии интенсивности КР изучались экспериментально в работе [11], а в [12] впервые обнаружены и исследованы дифракционные провалы в энергетических спектрах КР.

В настоящей работе развита динамическая теория КР в совершенных кристаллах с учетом когерентного рассеяния как внешнего, так и неупруго рас-

сеянного излучения. В разделе 1 выводятся общие выражения для спектральной интенсивности КР в геометриях Лауэ и Брэгга. В разделе 2 приведен квантовомеханический расчет парциальных сечений КР. В разделе 3 обсуждены их относительные вклады в общее сечение и приведены расчетные кривые выхода когерентного КР при различных геометриях рассеяния. Показана высокая чувствительность метода к определению недиагональных элементов матрицы плотности и анализу электронной структуры кристаллов.

1. Спектральная интенсивность когерентного КР

Ограничимся рассмотрением случая двух «сильных» неупруго рассеянных волн $E_0 = E(\mathbf{k}_0, \omega)$ и $E_h = E(\mathbf{k}_h, \omega)$, где $\mathbf{k}_h = \mathbf{k}_0 + \mathbf{h}$ (\mathbf{h} — вектор обратной решетки). Тогда для амплитуд полей КР $E_g = \sum_m e_g^{(m)} E_g^{(m)}$ имеем следующую динамическую систему уравнений:

$$\begin{aligned} \partial_g E_g^{(m)} - C_m \chi_{g-g'} E_{g'}^{(m)} &= (4\pi i/\omega) j_g^{(m)}, \quad g \neq g' = 0, h, \\ \partial_g &= (k_g/x)^2 - 1 - \chi_0, \quad j_g^{(m)} = \mathbf{e}_g^{(m)} \mathbf{j}_g, \quad \mathbf{j}_g = \mathbf{j}(\mathbf{k}_g, \omega), \end{aligned} \quad (1)$$

где $x = \omega/c$; χ_g — фурье-компоненты комплексных поляризуемостей на частоте КР; $\mathbf{e}_g^{(m)}$ — единичные орты поляризации; $C_1 = 1$ для σ -поляризации; $C_2 = -\cos 2\theta$ для π -поляризации; \mathbf{j}_g — токи электронных переходов, описывающие различные процессы неупругого взаимодействия поля с кристаллом [1]. Их величина определяется конкретным механизмом неупругого рассеяния, а также амплитудой и структурой внешнего поля $E_1(\mathbf{r}, \omega_1)$ в кристалле. В дальнейшем для простоты индекс поляризации m будем опускать. Условно будем называть волну E_0 проходящей, а E_h — дифрагированной.

В силу непрерывности тангенциальных составляющих волновых векторов поля КР в вакууме \mathbf{x}_h и поля КР в среде $\mathbf{k}_h = \mathbf{x}_h + x\epsilon_h \mathbf{n}$ для коэффициентов динамической задачи (1) имеем

$$\begin{aligned} k_g &= x(1 + \epsilon_g \gamma_g), \quad \partial_g = 2\epsilon_g \gamma_g - \chi_0, \quad g = 0, h \\ \epsilon_h &= \epsilon_0 + (\alpha_h/2\gamma_0), \quad \alpha_h = [x^2 - (\mathbf{x}_h - \mathbf{h})^2]/x^2, \end{aligned} \quad (2)$$

где $\gamma_0 = \cos(\mathbf{x}_0 - \mathbf{h}, \mathbf{n})$, $\gamma_h = \cos(\mathbf{x}_h, \mathbf{n})$ — направляющие косинусы для волн КР E_0 и E_h соответственно; $|\mathbf{x}_h| = \omega/c$; \mathbf{n} — нормаль к входной поверхности плоскопараллельной кристаллической пластинки, направленная вглубь вдоль оси z . Величина α_h характеризует отклонение вакуумной волны КР \mathbf{x}_h от брэгговского условия.

Определим поле $E_h(\mathbf{r})$ в точке наблюдения \mathbf{r} вне кристалла. Общее соотношение, связывающее амплитуду поля в прямом пространстве $E(\mathbf{r})$ и в \mathbf{k} -пространстве $E(\mathbf{k})$, имеет вид

$$E(\mathbf{r}) = \int d^3k E(\mathbf{k}) e^{i\mathbf{k}\mathbf{r}} = \int d^2k_{\parallel} E(\mathbf{k}_{\parallel}, z) e^{i\mathbf{k}_{\perp}\mathbf{r}}. \quad (3a)$$

Здесь

$$\mathbf{r} = (x, y, z), \quad \mathbf{r}_{\perp} = (x, y), \quad \mathbf{k} = (\mathbf{k}_{\parallel}, k_z),$$

$$E(\mathbf{k}_{\parallel}, z) = \int dk_z E(\mathbf{k}) \exp(ik_z z), \quad (3b)$$

так что поле в точке z при фиксированной величине проекции волнового вектора \mathbf{k}_{\parallel} на поверхность кристалла определяется суммой вкладов компонент поля со всевозможными поперечными проекциями k_z .

В зависимости от геометрии рассеяния будем различать следующие ситуации: 1) случай Лауэ «на прохождение», когда проходящая и дифрагированная волны КР выходят с задней поверхности кристалла; при этом $z > l$ (l — толщина кристалла, $\gamma_0, \gamma_h > 0$, граничные условия $E_0 = E_h = 0$ на поверхности $z=0$); 2) случай Лауэ «на отражение», в котором поля E_0 и E_h выходят через переднюю поверхность; при этом $z < 0$, $\gamma_0, \gamma_h < 0$, $E_0 = E_h = 0$ при $z=l$; 3) случай Брэгга, т. е. $z < 0$, $\gamma_0 > 0$, $\gamma_h < 0$, $E_0 = 0$ при $z=0$.

Подставим в (3) полное решение неоднородной системы (1), удовлетворяющее граничным условиям на поверхности (см. также [13, 14]). Проинтегрируем в (3б) по ε_h , применяя теорию вычетов при обходе полюсов спектральной функции Грина двухволновой задачи (1). Полюса $\varepsilon_g^{(v)}$, т. е. корни дисперсионного уравнения для ошибок возбуждения ε_g (2), определяются нулями функции

$$\Delta = \delta_0 \delta_h - C^2 \chi_h \chi_{\bar{h}} = 4\gamma_0 \gamma_h (\varepsilon_g - \varepsilon_g^{(1)}) (\varepsilon_g - \varepsilon_g^{(2)}).$$

Тогда в случае Лауэ для поля в точке наблюдения в дальней зоне ($xr \gg 1$, $z \gg l$) от рассеивающего объема окончательно получим

$$E_h(r) = \frac{i\omega}{rc^2} \frac{\gamma_h}{|\gamma_h|} (2\pi)^3 e^{ixr} \sum_g \sum_v L_g^{(v)} j_g^{(v)} e^{ix\varepsilon_h^{(v)}z}, \quad (4)$$

где

$$L_0^{(v)} = \pm \frac{\sqrt{\gamma_0 \gamma_h}}{2\gamma_0 \sqrt{y^2 + 1}} \sqrt{\frac{\chi_h}{\chi_{\bar{h}}}}, \quad L_h^{(v)} = \frac{1}{2} \left(1 \mp \frac{y}{\sqrt{y^2 + 1}} \right), \quad (5a)$$

$$\varepsilon_h^{(v)} = (\chi_0/2\gamma_h) + a_m (y \pm \sqrt{y^2 + 1}), \quad a_m = C_m \sqrt{\chi_h \chi_{\bar{h}}} / 2\sqrt{|\gamma_0 \gamma_h|}, \quad (5б)$$

$$j_g^{(v)} = (2\pi)^{-3} \int dr' j(r') \exp(-ik_g^{(v)}r'), \quad k_g^{(v)} = \mathbf{x}_h - \mathbf{h} + \mathbf{g} + \kappa \varepsilon_h^{(v)} \mathbf{n}. \quad (5в)$$

Здесь $v = 0, 1$, так что $z_0 = 0$ в случае Лауэ «на отражение» и $z_l = l$ в случае «на прохождение». Интегрирование в (5в) ведется в пределах освещенного внешним полем объема кристалла. Отстройка y измеряется в единицах полуширины кривой отражения

$$y = [\alpha_h + \chi_0(1 - \gamma)] / 4\gamma_0 a_m, \quad (6)$$

где $\gamma = \gamma_0/\gamma_h$ — фактор асимметрии отражения кваэтов КР. Верхний и нижний знаки в (5) относятся к листам дисперсионной поверхности $v = 1$ и 2 соответственно. Коэффициенты $L_{0,h}$ описывают упругую динамическую связь между пространственно-сопряженными модами $\mathbf{k}_0^{(v)}$ и $\mathbf{k}_h^{(v)}$. Мнимые части $\varepsilon_{hi}^{(v)}$ определяют коэффициенты аномального (бёрмановского) поглощения излучения КР. Поле проходящей волны $E_0(r)$ также задается соотношениями (4), (5), если в них произвести замену индексов $0 \leftrightarrow h$.

В геометрии Брэгга в случае толстого кристалла физически приемлемым является лишь одно решение с $v = 1$ или 2 [15]. Будем нумеровать корни дисперсионного уравнения $\Delta = 0$ таким образом, что $\varepsilon_{hi}^{(1)} > 0$, $\varepsilon_{hi}^{(2)} < 0$ (ср. [13, 14]). Учитывая при обходе полюсов в (3б), что $\varepsilon_{hi}^{(2)} < 0$, для поля КР в дальней зоне получим

$$E_h(r) = -\frac{i\omega}{rc^2} (2\pi)^3 e^{ixr} \sum_g B_g j_g^{(2)}, \quad (7)$$

где

$$B_0 = R\sqrt{|\gamma|}, \quad B_h = 1, \quad R = (-y \pm \sqrt{y^2 - 1}) \sqrt{\chi_h/\chi_{\bar{h}}}, \quad (8a)$$

$$\varepsilon_h^{(v)} = (\chi_0/2\gamma_h) + a_m (y \pm \sqrt{y^2 - 1}). \quad (8б)$$

Здесь R — амплитудный коэффициент брэгговского отражения и $\gamma_h = -|\gamma_h|$ в (6). Знак в (8б) выбирается такой, чтобы $\varepsilon_{hi}^{(v)} < 0$, а знак в выражении для R (8a) берется противоположный.

Спектральная интенсивность неупругого рассеяния, т. е. мощность, рассеиваемая в единичные частотный и угловой интервалы, определяется нормально упорядоченным средним

$$I_{\omega\omega}(\mathbf{x}_h) = (cr^2/2\pi) \langle E_h^+(\mathbf{r}, \omega) E_h(\mathbf{r}, \omega) \rangle. \quad (9)$$

В случае Брэгга для определенного состояния поляризации с учётом (7), (9) получим

$$I_{\omega\Omega} = \frac{\omega^2}{2\pi c^3} \sum_g \sum_{g'} B_g^* B_{g'} \int \int d\mathbf{r} d\mathbf{r}' e_{g_i} \langle j_i^+(\mathbf{r}) j_k(\mathbf{r}') \rangle e_{g'k} e^{i(\mathbf{k}_g^{(2)} \cdot \mathbf{r} - \mathbf{k}_{g'}^{(2)} \cdot \mathbf{r}')}. \quad (10)$$

Аналогичное (10) выражение имеет место и в случаях Лауэ после подстановки (4) и (5) в (9).

Таким образом, спектральная интенсивность (10) определяется коррелятором токов $\langle j_i^+(\mathbf{r}) j_k(\mathbf{r}') \rangle$. Отметим, что соотношения (4), (7) справедливы также и для таких вторичных процессов, как ТДР, флуоресценция и упругое диффузное рассеяние на дефектах. В каждом конкретном случае необходимо лишь учитывать явный вид токов j_g . Например, при рассеянии на дефектах $j_{0,h} \sim \mathbf{h} \mathbf{u}(\mathbf{q})$, где $\mathbf{u}(\mathbf{q})$ — фурье-компонента поля смещений дефекта (подробнее см. в [14, 16]).

Комптоновский ток электронных переходов, возникающих под действием внешнего поля $E_1(\mathbf{r}, \omega_1)$, играет роль распределенных по объему флуктуационных источников КР [1]. В общем случае

$$j_i(\mathbf{r}, \omega) = \int d\mathbf{r}' \Delta\sigma_{i,l}(\mathbf{r}, \mathbf{r}', \omega) E_l(\mathbf{r}', \omega), \quad (11)$$

где $\Delta\sigma$ — добавочный к линейной части тензор проводимости, зависящий квадратичным образом от внешнего поля. Приращение $\Delta\sigma(\omega_1)$ описывает незначительное изменение коэффициентов динамической теории за счет процессов неупругого рассеяния [17]. Величина $\Delta\sigma(\omega)$, как следует из флуктуационно-диссипационной теоремы [18], определяет также и статистические свойства среды [1]

$$\langle j_i^+(\mathbf{r}) j_k(\mathbf{r}') \rangle_\omega = -\hbar\omega(1 + N_\Omega)(2\pi)^{-4} [\Delta\sigma_{ik}(\mathbf{r}, \mathbf{r}', \omega) + \Delta\sigma_{ki}^*(\mathbf{r}', \mathbf{r}, \omega)], \quad (12)$$

где $N_\Omega = [\exp(\hbar\Omega/kT) - 1]^{-1}$, $\Omega = \omega_1 - \omega$. В случае КР $\hbar\Omega \gg kT$ и $N_\Omega = 0$. В случае ТДР $N_\Omega \approx kT/\hbar\Omega$.

Таким образом, задача вычисления спектральной интенсивности КР сводится, согласно (9)–(12), к расчету комптоновской проводимости

$$\Delta\sigma(\mathbf{k}, \mathbf{k}', \omega) = (2\pi)^{-3} \int \int d\mathbf{r} d\mathbf{r}' \Delta\sigma(\mathbf{r}, \mathbf{r}', \omega) \exp[-i(\mathbf{k}\mathbf{r} - \mathbf{k}'\mathbf{r}')].$$

2. Плотность комптоновского тока в представлении блоховских функций

Последовательный подход к вычислению комптоновской проводимости должен, очевидно, опираться на представления о блоховском характере поведения электронов в твердом теле. Решение уравнения Шредингера ищется в виде ряда по невозмущенным блоховским функциям $\varphi_{pm}(\mathbf{r}) = V^{-1/2} u_{pm}(\mathbf{r}) \exp(i\mathbf{p}\mathbf{r})$, где волновой вектор электрона \mathbf{p} лежит в первой зоне Бриллюэна, m — номер энергетической зоны, функция $u_{pm} = v^{-1/2} |pm\rangle$ определена в пределах элементарной ячейки (V — объем нормировки, v — объем ячейки). Если частота излучения много больше частот электронных переходов, то можно ограничиться первым порядком теории возмущения по потенциалу взаимодействия $(e^2/2mc^2) A^2$ [1, 19], где $A(\mathbf{r})$ — вектор-потенциал поля.

В случае Лауэ-дифракции внешнего излучения с амплитудой E_1 и вакуумным волновым вектором $\boldsymbol{\alpha}_1$ ($\boldsymbol{\alpha}_1 = \omega_1/c$) поле в среде имеет вид

$$E_{1b}(\mathbf{r}) = e_{1b} \sum_{\sigma} E_{1b}^{(\sigma)} \exp[i(\boldsymbol{\alpha}_1 + \mathbf{b})\mathbf{r} + i\alpha_{1\sigma} e_{1b}^{(\sigma)} z], \quad b = 0, \tau, \quad (13)$$

$$E_{1b}^{(\sigma)} = \frac{1}{2} \left(\mathbf{1} \mp \frac{y_1}{\sqrt{y_1^2 + 1}} \right) E_1, \quad E_{1\tau}^{(\sigma)} = \pm \frac{\sqrt{\gamma_1 \chi_{1\tau} / \chi_{1\pm}}}{2\sqrt{y_1^2 + 1}} E_1, \quad \sigma = 1, 2,$$

где τ — вектор отражения, $\gamma_1 = \gamma_{10}/|\gamma_{1\tau}|$ — фактор асимметрии.

В геометрии Брэгга

$$E_{1b}(\mathbf{r}) = e_{1b} E_{1b} \exp[i(\boldsymbol{\alpha}_1 + \mathbf{b})\mathbf{r} + i\alpha_{1\sigma} e_{1b}^{(\sigma)} z], \quad b = 0, \tau, \quad (14)$$

где $\text{Im } \varepsilon_{10}^{(1)} > 0$, $E_{10} = E_1$, $E_{1\tau} = \sqrt{\gamma_1} R_1 E_1$. Выражения для ошибок возбуждения $\varepsilon_{10}^{(2)}$, отстройки y_1 и коэффициента отражения внешнего поля R_1 совпадают соответственно с (5б), (8б), (6) и (8а), если в них произвести замену $y \rightarrow y_1$, $\chi_g \rightarrow \chi_{1b}$, $\gamma_0 \rightarrow \gamma_{1\tau}$, $\gamma_h \rightarrow \gamma_{10}$, $\alpha_h \rightarrow \alpha_{1\tau} = [\chi_1^2 - (\chi_1 + \tau)^2]/\chi_1^2$. В плоскости дифракции $\alpha_{1\tau} = 2\Delta\vartheta_1 \sin 2\vartheta_{1B}$, где $\Delta\vartheta_1 = \vartheta_1 - \vartheta_{1B}$.

Обобщая формализм, развитый в [19], и ограничиваясь членами, пропорциональными A^3 в разложении тока в ряд по степеням поля, для фурье-компонент комптоновского тока (11) получим

$$\mathbf{j}_g = \sum_{g'} \Delta\hat{\sigma}_{g-g'} E_{g'} = \frac{ie^4}{m^2 \omega_1^2 V} \sum_{g'} \sum_{bb'} \sum_{\mathbf{p}} \sum_{m\pi} R(\mathbf{p}'n, \mathbf{p}m, \omega - \omega_1) \mathbf{e}_{1b} (\mathbf{e}_{g'} \mathbf{e}_{1b'}) \times$$

$$\times (\mathbf{p}m | e^{-i(\mathbf{g}-b)r} | \mathbf{p}'n) (\mathbf{p}'n | e^{i(\mathbf{g}'-b')r} | \mathbf{p}m) E_{1b} E_{1b'}^* E_{g'}, \quad (15)$$

$$R(\mathbf{p}'n, \mathbf{p}m, \omega) = \frac{n(\varepsilon_{\mathbf{p}'n}) - n(\varepsilon_{\mathbf{p}m})}{\varepsilon_{\mathbf{p}'n} - \varepsilon_{\mathbf{p}m} - \hbar\omega - i\delta},$$

где введено обозначение: $\mathbf{p}' = \mathbf{p} + \bar{\mathbf{k}}_g - \bar{\mathbf{k}}_{1b}$; $\bar{\mathbf{k}}$ — волновой вектор \mathbf{k} , приведенный в первую зону Бриллюэна; $n(\varepsilon_{\mathbf{p}m})$ — функция распределения Ферми—Дирака; $g, g' = 0, h; b, b' = 0, \tau$ (в общем случае $\tau \neq h$, т. е. дифракция внешнего излучения и квантов КР может осуществляться на разных семействах атомных плоскостей).

В приближении сильной связи блоховскую функцию можно представить в виде суперпозиции собственных волновых функций свободных атомов, что оправдано лишь для электронов, находящихся на достаточно глубоких атомных оболочках. Если в элементарной ячейке содержится n_s одинаковых атомов с координатами \mathbf{r}_s , то матричные элементы по блоховским функциям в (15) примут вид

$$(\mathbf{p}m | e^{i\mathbf{g}r} | \mathbf{p}'n) = n_s^{-1} \sum_s e^{i(\mathbf{p}-\mathbf{p}'+\mathbf{g})\mathbf{r}_s} \langle e^{i(\mathbf{p}-\mathbf{p}'+\mathbf{g})r} \rangle_{mn}, \quad (16)$$

где $\langle \dots \rangle_{mn}$ — матричные элементы по атомным функциям $\psi_m(\mathbf{r})$.

Соотношения (10), (12)—(16) вместе с (4), (8) решают задачу о спектральной интенсивности КР в кристаллах. Ниже мы остановимся на наиболее интересных случаях, вытекающих из общих формул.

3. Комптоновское рассеяние в условиях брэгговской дифракции внешнего излучения

В этом случае $|y| \gg 1$, так что излучение КР выходит из кристалла не дифрагируя, ослабляясь с коэффициентом поглощения $\mu = \chi_{0i}$. Из (10), (14)—(16) следует, что нормированная на интенсивность КР вдали от отражающего положения кристалла ($|y_1| \gg 1$) спектрально-угловая кривая выхода когерентного КР определяется соотношением

$$x(\omega, \vartheta) = [1 + \gamma_1 |R_1|^2 \beta_{hh} + 2\sqrt{\gamma_1} \text{Re}(R_1 \beta_{0h})] \frac{(\mu_1/\gamma_{10}) + (\mu/|\gamma_h|)}{\mu_{1e} + (\mu/|\gamma_h|)}, \quad (17)$$

где $\mu_{1e} = 2\alpha_1 \text{Im } \varepsilon_{10}^{(1)}$ — интерференционный коэффициент поглощения; $\beta_{gg'} = \sigma_{gg'}/\sigma_{00}$ — отношение парциальных сечений КР, которые имеют следующий вид:

$$\sigma_{gg'} = (\mathbf{e}_h \mathbf{e}_{1g'}) (\mathbf{e}_h \mathbf{e}_{1g'}) \sum_g e^{i(\mathbf{g}-\mathbf{g}')r_s} e^{-M_{g-g'}^{(s)}} \sigma_{gg'}(\Omega, \vartheta), \quad g, g' = 0, h, \quad (18a)$$

$$\sigma_{gg'}(\Omega, \vartheta) = \sum_{m\pi} f_{m\pi}(\mathbf{S}_g) f_{m\pi}^*(\mathbf{S}_{g'}) \delta(\omega_{m\pi} - \Omega), \quad (18б)$$

где $f_{m\pi}$ — форм-факторы электронных оболочек; $\mathbf{S}_g = \mathbf{S}_0 - \mathbf{g}$, $\mathbf{S}_0 = \mathbf{x}_h - \mathbf{x}_1$ — векторы рассеяния; $\exp(-M_{g-g'})$ — фактор Дебая—Валлера; $\Omega = \omega_1 - \omega$, $\sigma_{gg'}(\Omega, \vartheta)$ — сечения КР на одном атоме. Так как сечения КР являются плавными функциями, то в (18) в отличие от диффузного рассеяния в окрестности рефлекса [13, 14] можно пренебречь отличием волновых векторов полей в среде и в вакууме.

Проанализируем сначала (18) в импульсной аппроксимации (ИА), широко используемой при расчетах комптоновских профилей [1]. В ИА считается, что переданная энергия $\hbar\Omega$ много больше характерных энергий электронов и $S_g \gg p$. Тогда из (18б) следует, что

$$\sigma_{g'g}(\Omega, \vartheta) = (2\pi^3) \sum_m \int d^3p \langle \mathbf{p} | \mathbf{p} + \mathbf{g}' - \mathbf{g} \rangle_m \delta\left(\frac{\hbar S_g^2}{2m} + \frac{\hbar \mathbf{p} S_g}{m} - \Omega\right), \quad (19)$$

где $\langle \mathbf{p} | \mathbf{p} + \mathbf{g} \rangle_m = \psi_m^*(\mathbf{p}) \psi_m(\mathbf{p} + \mathbf{g})$ — одноэлектронная матрица плотности; $\psi_m(\mathbf{p})$ — волновая функция основного состояния в импульсном пространстве. С точностью до очевидных обозначений (17)–(19) справедливы также и в условиях дифракции квантов КР [9].

Слагаемые в (17) имеют простой физический смысл. Так, σ_{00} — обычное кинематическое сечение КР кванта внешнего излучения $\hbar\kappa_1$ в моду КР κ_h . Слагаемое с σ_{hh} описывает КР, независимо возбуждаемое дифрагированной волной $\kappa_{1h} = \kappa_1 + \mathbf{h}$. Так как из-за δ -функции в (19) трехмерное интегрирование сменяется интегрированием в плоскости, то величины $\sigma_{g'g}$ дают информацию о функции одномерного (в проекции на векторы рассеяния S_0, S_g) импульсного распределения, т. е. о диагональных элементах матрицы плотности $\langle \mathbf{p} | \mathbf{p} \rangle$.

Члены с $g \neq g'$ описывают интерференционные эффекты в тех состояниях, в которых система «кристалл-излучение» может перейти как при КР кванта $\hbar\kappa_1$, так и при КР кванта $\hbar\kappa_{1h}$. Таким образом, сечение σ_{0h} представляет вклад в общее сечение от рассеяния на электронном состоянии, представляющем собой совместную вероятность (корреляционную функцию $\langle \mathbf{p} | \mathbf{p} + \mathbf{h} \rangle$) нахождения электрона в состояниях $|\mathbf{p}\rangle$ и $|\mathbf{p} + \mathbf{h}\rangle$. Впервые на это обстоятельство было обращено внимание в работах [3, 6]. Интерференционное сечение σ_{0h} пропорционально проекции недиагональных элементов матрицы плотности на S_0 . Атомные факторы такой информации не дают, так как $f(\mathbf{h}) = \int d^3p \langle \mathbf{p} | \mathbf{p} + \mathbf{h} \rangle$, где интегрирование проводится по всему \mathbf{p} -пространству, а не в плоскости, как в (19).

Основной вклад в сечения КР дают слабосвязанные валентные электроны [1]. В отличие от флуоресценции и фотоэффекта [4] интенсивность когерентного КР определяется не только структурой поля в кристалле, но также и тем, что сечения $\sigma_{g'g}$ зависят от характера распределения электронной плотности и угла КР. Это обстоятельство указывает на то, что КР в условиях дифракции может эффективно использоваться для анализа электронной структуры кристаллов. Ниже будут продемонстрированы некоторые потенциальные возможности этого нового метода.

Рассмотрим для примера две простейшие модели поведения электронов в кристалле. В первой модели будем считать, что их волновые функции совпадают с таковыми для свободных атомов. Большинство расчетов атомных факторов выполнено именно в этом приближении [15, 19]. В качестве второй модели будем рассматривать валентные электроны как свободный электронный газ. Состоятельность этой модели для таких кристаллов, как Si и Ge, подтверждается экспериментами по малоугловому неупругому рассеянию электронов [20] и рентгеновских лучей [21]. В этом случае диагональные сечения КР σ_{gg} равны сумме сечений на ионном остове и на равномерно распределенных по ячейке валентных электронах. Следует подчеркнуть, что валентные электроны при этом не вносят вклада в интерференционное сечение σ_{0h} .

Для интегральных по энергии сечений КР из (18б) имеем

$$\sigma_{g'g}(\vartheta) = Z - \sum_{mn} |f_{mn}(S_0 - \mathbf{g})|^2, \quad \sigma_{0h}(\vartheta) = f(\mathbf{h}) - \sum_{mn} f_{mn}(S_0) f_{mn}^*(S_0 - \mathbf{h}). \quad (20)$$

В отличие от интегральных сечений, полученных в рамках ИА из (19), результат (20) является точным. На рис. 1 показаны угловые зависимости сечений КР $\sigma_{g'g}(\vartheta)$ (20) излучения $\text{Cu } K_\alpha$ в кремнии ($\vartheta = \widehat{\kappa_1 \kappa_h}$ — угол КР). Расчет проводился с использованием приведенных в [22] хартри-фоковских факторов и обменных интегралов f_{mn} для свободных атомов и ионов Si^{+4} . Штри-

ховыми линиями показаны соответствующие сечения КР в модели «остов+ свободные электроны». Статический структурный фактор валентных электронов рассчитывался на основе теории электронной жидкости [23], учитывающей корреляцию между частицами из-за кулоновского и обменного взаимодействия.

Пусть регистрация КР ведется, как в [7], вдоль вектора обратной решетки h (220). Тогда в модели свободных атомов $\beta_{hh}=0.768$, а в модели «остов+ свободные электроны» $\beta_{hh}=0.764$. Видно, что диагональные значения β_{hh} практически не меняются. Вклад в КР от $3s^23p^2$ -электронов составляет 48 и 61 % от сечений σ_{00} и σ_{hh} соответственно. Также слабо меняются и атомные факторы f (220) (8.717 и 8.673 соответственно.). В то же время интерференционный параметр β_{0h} изменяется заметным образом (0.394 и 0.287 соответственно).

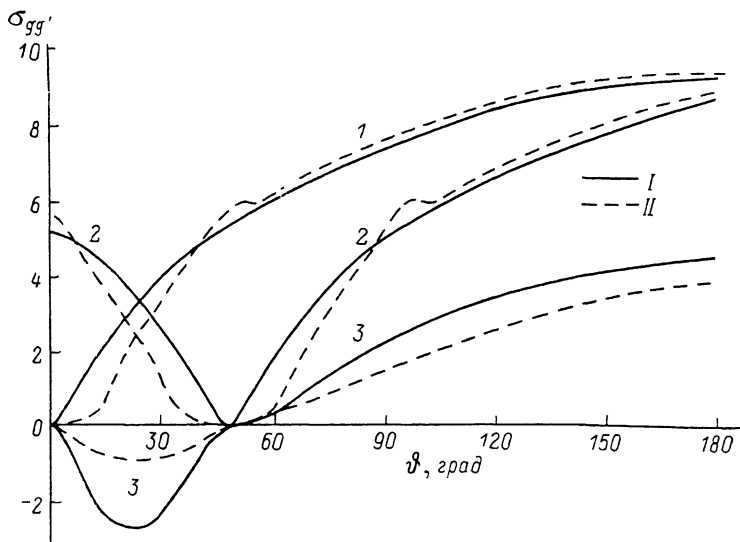


Рис. 1. Угловая зависимость интегральных по энергии сечений КР $\sigma_{gg'}$ в кремнии в модели свободных атомов (I) и в модели «остов+ свободные электроны» (II). Излучение $\text{CuK}\alpha$, отражение 220, регистрация в плоскости дифракции. σ_{00} (1), σ_{hh} (2), σ_{0h} (3).

Результаты расчета интегральных по энергии интенсивностей КР (17) приведены на рис. 2 в случаях симметричной ($\gamma_1=1$) и резко асимметричной ($\gamma_1=41$) дифракции. Провал в центральной области вызван сильным экстинкционным уменьшением рассеивающего объема. В области меньших углов скольжения ($y_1 \leq -1$) наблюдаются интенсивные максимумы, причем в асимметричном случае они гораздо выше и сильнее смещены в отрицательную область, чем в симметричном. Превышение интенсивности КР над некогерентным фоном объясняется двумя причинами. Во-первых, поскольку вблизи левого края кривой отражения поле максимально между атомными плоскостями, то увеличивается вклад в КР за счет валентных электронов. Вторая причина вызвана тем, что в области $y_1 \approx -(\gamma_1^{1/2} + \gamma_1^{-1/2})/2$ (χ_{hi}/χ_{oi}) возрастает рассеивающий объем из-за аномально глубокого проникновения внешнего рентгеновского пучка.

Из рис. 2 видно, что в схеме резко асимметричной дифракции кривые $\kappa_{\text{КР}}$ гораздо более чувствительны как к величине интерференционного параметра β_{0h} , так и к его изменению, связанному с изменением характера распределения валентных электронов. Привлекательность этой схемы заключается еще и в том, что неизбежные в ходе эксперимента аппаратные свертки слабо влияют на кривые $\kappa_{\text{КР}}$ в области $y_1 \leq -3$, тогда как в симметричном случае узкий пик КР при $y_1 = -1$ будет сильно сглаживаться. Экспериментальные результаты [7] лучше согласуются с моделью «остов+ свободные электроны», чем с моделью свободных атомов.

Помимо КР в интенсивность рассеяния дает вклад также и ТДР в окрестности узла обратной решетки 333. Сечения ТДР следуют из (15), (16) в результате замены

$$\mathbf{r}_s \rightarrow \mathbf{r}_s + \mathbf{u}_s, \quad \omega_{mn} \rightarrow \omega_{mn} + \sum_p \omega_p(\mathbf{q})(\nu'_p - \nu_p),$$

где \mathbf{u}_s — вектор тепловых колебаний, ν_p — фоновые числа заполнения в моде $\omega_p(\mathbf{q})$, $m=n$, $\nu'_p \neq \nu_p$ (см. также [17, 24]). Расчет структурных амплитуд $F(333)$, $F(113)$ и сечений однофононного ТДР для акустических и оптических ветвей с учетом динамики коротковолновых колебаний решетки [25] дает $\beta_{hh}=0.85$, $\beta_{0h}=0.83$. Для сравнения кривые выхода ТДР также приведены на рис. 2. В области $|y_1| \gg 1$ вклад ТДР составляет 32 % от интенсивности КР.

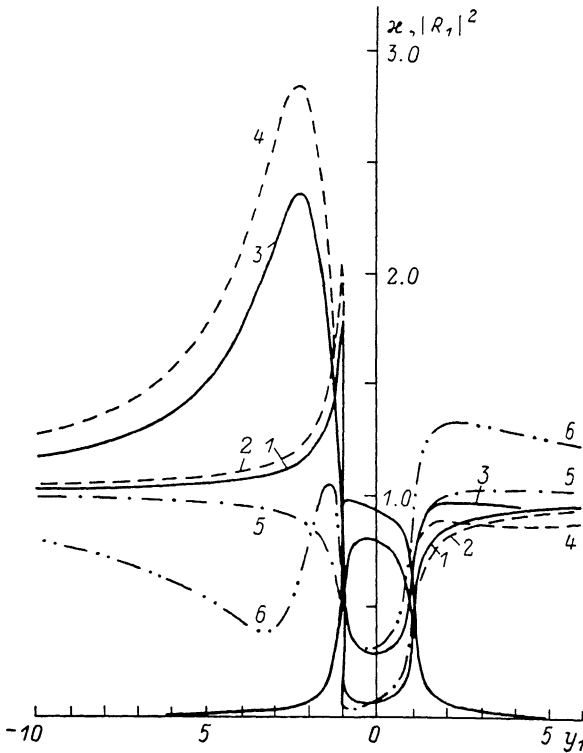


Рис. 2. Кривые выхода КР (1—4), ТДР (5, 6) и коэффициенты отражения $|R_1|^2$ s-поляризованного излучения $\text{CuK}\alpha$ в кремнии, отражение 220, регистрация вдоль вектора обратной решетки \mathbf{h} (220) ($\varphi=113.7^\circ$).

1, 2, 5 — симметричная дифракция; 3, 4, 6 — асимметричная. 1, 3 — модель свободных атомов; 2, 4 (штрихи) — модель «остов+свободные электроны».

Кривая выхода КР (17) зависит от двух параметров. Если для фотоэффекта и флуоресценции $\beta_{hh}=1$ и $\beta_{0h}=\chi_{hi}/\chi_{oi} \approx 1$ — просто константы [4, 24], то для КР, как это видно из (20) и рис. 1, β_{hh} и β_{0h} меняются в широких пределах в зависимости от угла КР, в частности величина β_{0h} может быть даже отрицательной. Расхождение эксперимента с расчетом в [26] объясняется, по-видимому, тем, что в [26] принято весьма грубое приближение $\beta_{hh} \equiv 1$, $\beta_{0h} \approx 0$. Величина $\beta_{hh} \approx 1$ лишь при больших углах КР и достаточно жестком излучении (рис. 1). Величина $\beta_{hh}=1$ также при регистрации КР в направлениях, перпендикулярных \mathbf{h} , для которых $|S_0|=|S_0-\mathbf{h}|$. Эта геометрия исследовалась в [6, 8], где для вывода излучения КР кристалл вырезался так, чтобы нормаль \mathbf{n} не лежала в плоскости дифракции. В этом случае из (20) следует, что

$$\beta_{hh}=1, \quad \beta_{0h}=1 - [Z - f(\mathbf{h})]/Z_{00}. \quad (21)$$

При малых углах среза φ уменьшается глубина выхода квантов КР, что приводит к существенной трансформации кривых выхода по сравнению с рис. 2 (рис. 3). В случае асимметричного отражения в правой части χ_{KR} появляется дополнительный максимум, величина которого уменьшается с ростом φ . Из (21)

и [22] следует, что в этой геометрии интерференционный параметр β_{0h} и кривые выхода КР слабо зависят от распределения электронной плотности ($\beta_{0h} = 0.289$ и 0.297 для обеих моделей соответственно). Большой информативности можно достигнуть, если исследовать не интегральную по энергии интенсивность КР, а его энергетическое распределение (см. также [8]).

В заключение рассмотрим влияние недиагональных элементов матрицы плотности на энергетический спектр когерентного КР в условиях дифракции квантов КР в геометрии Лауэ «на прохождение». Если внешнее излучение

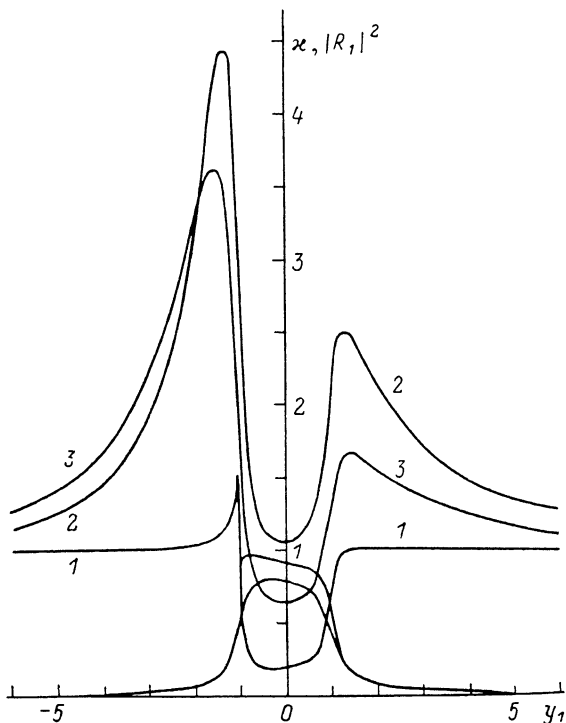


Рис. 3. Кривые выхода КР и коэффициенты отражения $|R_1|^2$ α -поляризованного излучения $\text{CuK}\alpha$ в кремнии, отражение 220. Регистрация ведется в направлении, перпендикулярном вектору обратной решетки и плоскости дифракции ($\vartheta = 90^\circ$).

Симметричная дифракция: 1 — $\varphi = 10^\circ$, асимметричная дифракция ($\gamma_1 = 41^\circ$): 2 — 10° , 3 — 20° .

падает на кристалл вдали от области отражения, то из (9) с учетом (4) и (12) кривая выхода определяется выражением

$$x(y) = l_0^{-1} \sum_{\nu\nu'} [(D_{00}^{\nu\nu'} + D_{hk}^{\nu\nu'} \beta_{hk}) l_{\nu\nu'} + 2 \text{Re}(D_{0k}^{\nu\nu'} \beta_{0h} l_{\nu\nu'})], \quad (22)$$

$$l_{\nu\nu'}(y) = \int_0^l \exp[-(\mu_1 z / \gamma_{10}) - i x (\epsilon_h^{\nu\nu'})^* - \epsilon_h^{\nu\nu'}] (l - z) dz,$$

где

$$D_{g'g''}^{\nu\nu'} = L_g^{(\nu)*} L_{g''}^{(\nu')}, \quad l_0 = l_{\nu\nu'} (|y| \gg 1), \quad \gamma_{10} = \cos \alpha_1,$$

α_1 — угол падения внешнего пучка к нормали. Величина y в (5) характеризует отстройку частоты КР $\Delta\omega = \omega - \omega_B$ от брэгговской частоты ω_B , измеренную в единицах полуширины спектральной кривой отражения

$$\Delta\omega_B = \omega_B C \sqrt{\chi_h \chi_{\bar{h}} \tilde{\gamma}} / 2 \sin^2 \psi,$$

где $\omega_B(\psi) = ch/2 \sin \psi$, ψ — угол между направлением наблюдения \mathbf{x}_h и отражающими плоскостями.

Анализ (22) упрощается, когда $\alpha_1 \perp n$, т. е. внешнее излучение падает параллельно отражающим плоскостям; при этом $\beta_{hh}=1$. В рамках ИА $\beta_{0h} \approx \exp(-a^2 h^2 / 2)$ [9], где a — характерный радиус электронного распределения. В случае сильно связанных электронов и малых индексов отражения $ah \ll 1$, так что $\beta_{0h} \approx 1$. При рассеянии на легких атомах и почти свободных электронах $ah \gg 1$ и $\beta_{0h} \approx 0$.

Результаты расчета (22) для различных значений интерференционного параметра β_{0h} представлены на рис. 4. Направление наблюдения выбрано таким, что ω_B совпадает с положением максимума в спектре КР τ_{00} . В тонком кристалле спектры КР имеют симметричную черно-белую структуру (рис. 4, а). Осцилляции объясняются маятниковым эффектом для излучения КР. С увеличением толщины кристалла, а также с ростом фактора асимметрии амплитуда

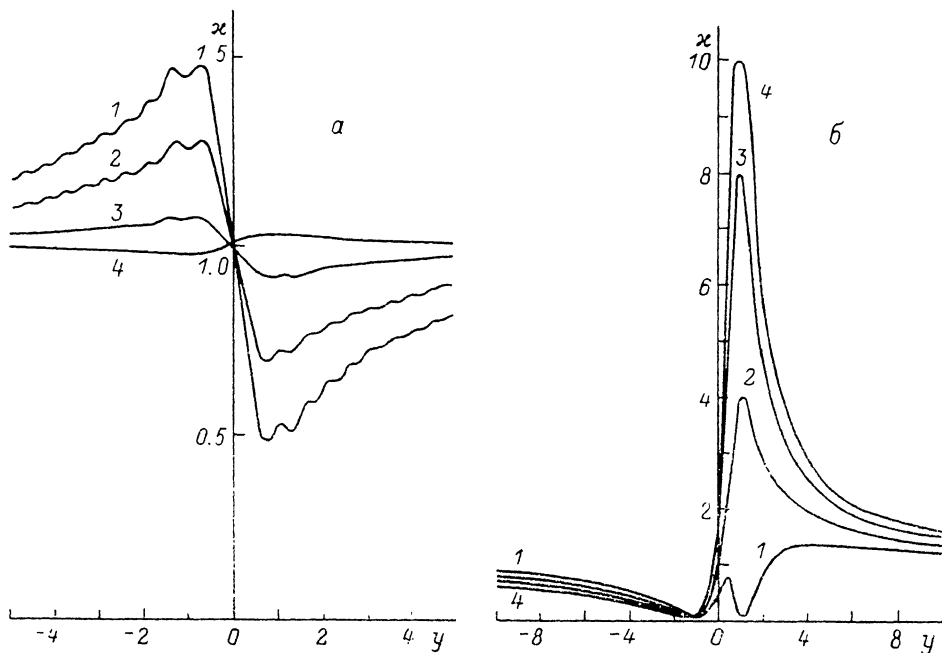


Рис. 4. Влияние интерференционного параметра β_{0h} на энергетический спектр КР 3-поляризованного излучения $Ag K_\alpha$ в кремнии в геометрии «на прохождение», отражение 220, $\alpha_1=85^\circ$. а — симметричная дифракция квантов КР ($i=0.01$ см, $\vartheta=85.1^\circ$), б — асимметричная дифракция ($i=0.1$ см, $\vartheta=65.5^\circ$).

и форма кривых вследствие аномального прохождения квантов КР резко меняются (рис. 4, б), причем наиболее сильно это проявляется при малых значениях β_{0h} , характеризующих поведение именно валентных электронов.

Различные модели волновых функций валентных электронов приводят к отличию в теоретических расчетах некогерентного сечения КР σ_{00} на 2—3 % [1], что соизмеримо с экспериментальными погрешностями и не позволяет выявить преимущество той или иной модели. Однако в условиях когерентного КР, особенно в случае асимметричной дифракции, относительно малые изменения интерференционного сечения σ_{0h} могут изменять интенсивность КР на десятки процентов, что открывает новые возможности исследования электронной структуры кристаллов.

Автор признателен Р. Н. Кузьмину и А. О. Айту за полезные обсуждения настоящей работы.

Литература

- [1] Бушнев В. А., Кузьмин Р. Н. УФН, 1977, т. 122, № 1, с. 81—124.
- [2] Бушнев В. А., Кузьмин Р. Н. ЖТФ, 1974, т. 44, № 12, с. 2568—2571
- [3] Golovchenko J. A., Kaplan D. R., Kincaid B. et al. Phys. Rev. Lett., 1981, v. 46, N 22, p. 1454—1457.

- [4] Афанасьев А. М., Александров П. А., Имамов Р. М. Рентгеновская структурная диагностика в исследовании приповерхностных слоев монокристаллов. М.: Наука, 1986. 96 с.
- [5] Anpaka S., Kikuta S., Kohra K. J. Phys. Soc. Japan, 1966, v. 21, N 8, p. 1559—1564.
- [6] Schülke W., Bonse U., Mourikis S. Phys. Rev. Lett., 1981, v. 47, N 17, p. 1209—1212.
- [7] Бушугев В. А., Любимов А. Г., Кузьмин Р. Н. Письма в ЖТФ, 1986, т. 12, № 3, с. 141—146.
- [8] Schülke W., Mourikis S. Acta Cryst., 1986, v. A42, N 1, p. 86—98.
- [9] Бушугев В. А., Айт А. О. Вестник МГУ. Физика, астрономия, 1986, т. 27, № 5, с. 61—66.
- [10] Chukhovskii F. N., Alexanjan L. A., Pinsker Z. G. Acta Cryst., 1973, v. A29, N 1, p. 38—45.
- [11] Бушугев В. А., Лаушкин А. В., Кузьмин Р. Н. и др. ФТТ, 1983, т. 25, № 2, с. 406—415.
- [12] Бушугев В. А., Любимов А. Г., Кузьмин Р. Н. ФТТ, т. 26, № 11, с. 3480—3482.
- [13] Afanasev A. M., Kagan Yu., Chukhovskii F. N. Phys. Stat. Sol., 1968, v. 28, N 1, p. 287—294.
- [14] Молодкин В. Б., Олиховский С. И., Осинковский М. Е. Металлофизика, 1983, т. 5, № 1, с. 3—15.
- [15] Пинскер З. Г. Рентгеновская кристаллооптика. М.: Наука, 1982. 390 с.
- [16] Казанер В. М., Инденбом В. Л. Металлофизика, 1986, т. 8, № 1, с. 23—34.
- [17] Афанасьев А. М., Казанер В. М. Acta Cryst., 1968, v. A24, N 1, p. 163—170.
- [18] Левин М. Л., Рытов С. М. Теория равновесных тепловых флуктуаций в электродинамике. М.: Наука, 1967. 307 с.
- [19] Колпаков А. В., Бушугев В. А., Кузьмин Р. Н. УФН, 1978, т. 126, № 3, с. 479—513.
- [20] Платцман Ф., Вольф П. Волны и взаимодействия в плазме твердого тела. М.: Мир, 1975. 436 с.
- [21] Розенберг Ю. А., Карпенко В. Ф., Клещинский Л. И. ФТТ, 1976, т. 18, № 7, с. 1841—1847.
- [22] Freeman A. J. Acta Cryst., 1959, v. 12, N 4, p. 929—936.
- [23] Tripathy D. N., Rao V. K., Mandal S. S. Solid State Commun., 1977, v. 22, N 1, p. 83—86.
- [24] Afanasev A. M., Azizian S. L. Acta Cryst., 1981, v. A37, N 1, p. 125—130.
- [25] Пуле А., Матье Ж.-П. Колебательные спектры и симметрия кристаллов. М.: Мир, 1973. 437 с.
- [26] Афанасьев А. М., Имамов Р. М., Мухамеджанов Э. Х. и др. ДАН СССР, 1986, т. 288, № 4, с. 847—850.

Московский государственный
университет им. М. В. Ломоносова
Физический факультет

Поступило в Редакцию
20 января 1987 г.